

東海大学 稲田 哲穂 株式会社オオバ 山田 道男
東海大学 赤石 勝 ○東海大大学院 寒河江 健世

1. まえがき

生石灰パイアル工法による軟弱地盤の改良強度は、従来、生石灰パイアルの膨張圧から求められる方法が用いられてきた。最近は、通常の載荷による圧密と同様な見地がら、生石灰による周辺地盤の含水比低下量より周辺地盤の強度増加を推定する方法も提案されている。¹⁾ また、生石灰が消化した後の消石灰パイアルの強度は、安全側を考慮して無視する方法が一般的に行なわれている。しかし、実際に生石灰パイアルが施工される地盤は、改良が必要な軟弱地盤であるから、生石灰の膨張に対する地盤の拘束圧は、あまり大きくなないものと考えられる。特に、高圧縮性な泥炭質地盤のような場合には、拘束圧がほとんど期待できないので膨張圧はあまり發揮されないと考えられ、このような場合にはパイアルとしての強度もあまり期待できない。また、生石灰パイアルが設置された地盤は、生石灰パイアルと周辺土との複合地盤であり、複合地盤としてせん断強度が発揮されるとき、生石灰パイアルと周辺土との相互作用を考慮する必要があると思われる。しかし、現状ではパイアルと周辺土を別々に取扱う方法に問題が多いので、著者らは、複合地盤としてのせん断強度を生石灰パイアルと周辺土との平均せん断強度として取扱い周辺土の含水比の変化と平均強度の関係より興味深い結果を得た。

本研究は、生石灰パイアルによる粘土の複合地盤としてのせん断強度特性を、一面せん断試験機を用いて実験を行ない、従来の設計法による強度の算定値と実験から得られた複合地盤としての強度を比較検討したものである。

2. 現在までの強度増加推定法

従来から行なわれてきた設計法では、生石灰パイアルが設置された地盤の平均強度増加量 ΔC をサンドドレーン工法の場合と同様な考え方から次式で推定することが多く行なわれていた。²⁾

$$\Delta C = \left(\frac{C_p}{p} \right) \cdot \left(\frac{d_i}{D_e} \right) \cdot P_e \quad \dots (1) \quad \text{ここに, } C_p: \text{強度増加率, } d_i: \text{パイアル直径, } D_e: \text{パイアル有効径, } P_e: \text{生石灰パイアルの膨張圧}$$

式(1)において、 P_e は通常 $80 \sim 100 \text{ kg/cm}^2$ の一一定値を仮定して用いるが、膨張圧はパイアルの膨張変位を拘束する条件（土質、深度等）や化学反応中で異なり、常に一定値を仮定して用いることは設計上大きな問題点であった。そこで、最近は図へ1に示した圧密における含水比低下量と強度増加量の関係を生石灰パイアルの場合に適用して、式(2)より強度増加量を推定するのが合理的であるとする考え方が提案されている。¹⁾

$$\Delta C = 100 \cdot \left(\frac{C_p}{G_s} \right) \cdot \log \left(\frac{C_0 + \Delta C}{C_0} \right) \quad \dots (2) \quad \text{ここに, } C_p: \text{圧縮指數, } G_s: \text{土の比重, } C_0: \text{初期強度, } \Delta C: \text{強度増加量}$$

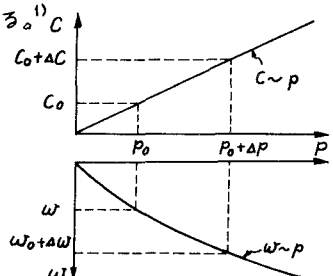
また、式(2)の含水比低下量は、生石灰の消化吸水と消化後絶乾状態の消石灰の毛細管吸水による含水比の低下量より式(3)によって求められる。¹⁾

$$\Delta W = r_c \cdot a_v \cdot (100 + w) \cdot (0.32 + 0.59 \cdot e_l) / r \cdot (100 - a_v) \quad \dots (3) \quad \text{ここに, } r_c: \text{生石灰の単位体積重量, } a_v: \text{体積混入率, } e_l: \text{消石灰の間隙比, } r: \text{土の初期単位体積重量, } w: \text{土の初期含水比}$$

式(2)を適用できるのは、正規圧密飽和土の場合であるから、過圧密土の場合にはあらかじめ $\Delta W \sim \Delta C$ の関係を把握しておくことが必要である。

3. 実験方法および実験結果

実験には、 $G_s=2.66$, $w_L=77\%$, $I_p=37$ の粘土と市販の生石灰塊を粉末に 420μ フルイ通過分を用いた。



図へ1 圧密における $w \sim C$ の関係

実験方法は、 0.2 kg/cm^2 以下の荷重でスラリーの粘土を干压した後整形して一面セン断試験機にセットを行ない、 $0.2, 0.4, 0.8, 1.6 \text{ kg/cm}^2$ の各荷重で圧密を行なった。圧密終了後除荷し、 n (図～2 参照) = 3, 5 の各直径の金属円筒で試料中央を穿孔し、生石灰粉を一定密度 ρ_c に充填した後、試料全体の非排水条件を保つため試料上下面にビニールラートを敷き、再び圧密時と同一荷重を載荷して 24 時間経過後セン断を行なった。セン断後、石灰を除去して粘土部分のみの含水比測定を行なった。また、生石灰を設置しない粘土単体の圧密荷重と強度および含水比の関係を把握するため無処理のセン断試験も実施した。図～3 は、一面セン断試験における垂直応力 σ_v とセン断強度 c_s およびセン断後の粘土部分含水比 w_s をプロットし、平均線を実線で示したものである。さらに、図～3 に、粘土部の同一含水比におけるでも一点鉛線で併記した。

4. 考察

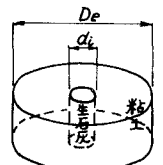
図～3 に示した σ_v と c_s の関係より、 $n = 5$ について上載荷重の載荷増分 $\Delta\sigma$ に対する実験結果の強度増加量 Δc と式(1)および式(2)に実験条件を適用して求めた Δc を示したもののが図～4 である。なお、式(2)A は、実験結果の低下含水比より算出した値であり、式(2)B は、生石灰単体の室内試験より求めた図～5 の P_a ～ e_c の関係に一面セン断試験における σ_v を拘束圧 P_a と仮定して式(3)を用いて算出した Δw を式(2)に代入して求めた値である。

図～4 によれば、式(1)による算出値は実験値よりかなり過大であり、拘束圧や含水比の変化によらず一定値となるので不合理である。また、式(2)の算出値も実験値よりかなり大きい値を示している。とくに A の結果は、生石灰により粘土の含水比が低下したにもかからず図～1 に示した関係ほど強度増加が生じなかったことを示している。この原因としては、生石灰近くの粘土が消化作用により不飽和になつたと考えられるが、詳細については今後の課題である。B の計算値が実験値より過大に算出された原因としては、生石灰の反応が風化等により理論通りに行なわれなかつたことや消石灰間ゲキ比が適切でながつたことなどが考えられる。今回の室内実験結果によれば、各計算法とも実験値よりかなり過大に強度増加量を算出しており実際の場合より大きく強度を見積る可能性があることを示しているが、実際の現場では、パイルの設置方法や拘束条件などが異なるので、今後十分検討していく必要がある。

5. あとがき

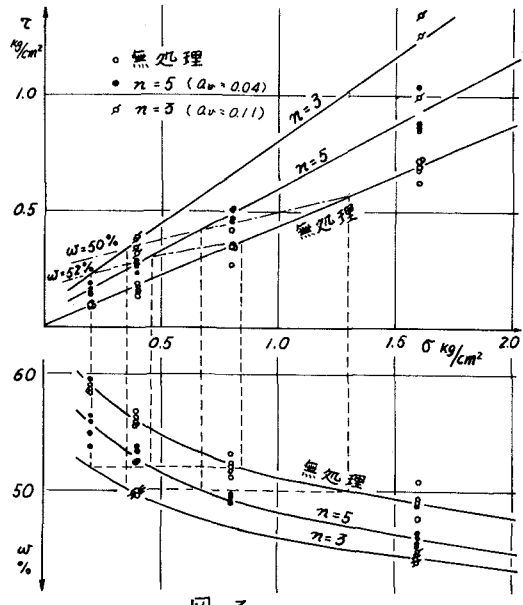
今後は間ゲキ比や飽和度の変化に着目してこれを変化させた実験などを行なつてゆく方針である。

参考文献 1). 増村清郎: 生石灰の設計法について、第1回工質学研究発表会講演集(1976) 2). 伊藤範雄: 生石灰による地盤改良、日刊工業新聞社(1969)

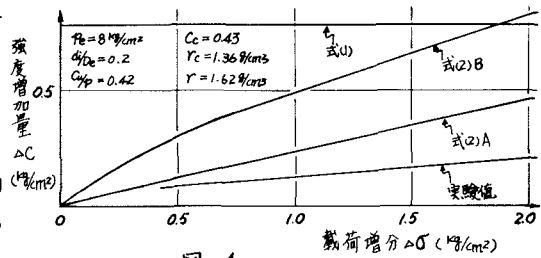


$$n = \frac{\text{粘土の直径}}{\text{生石灰の直径}} = \frac{D_e}{d_i}$$

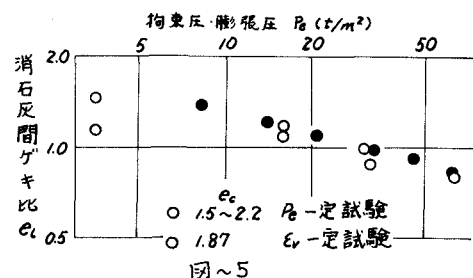
図～2



図～3.



図～4.



図～5